

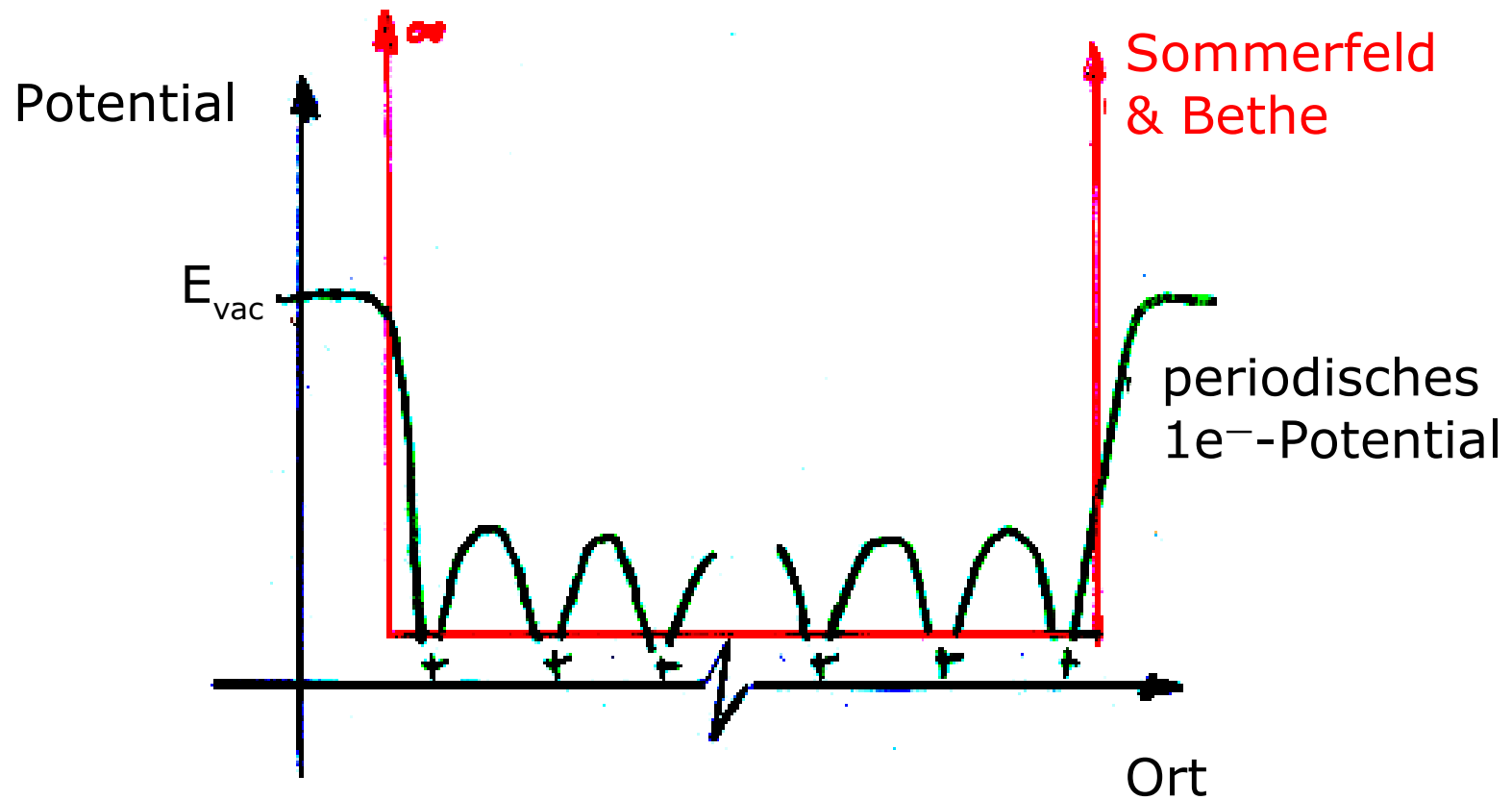
Modell freier Elektronen, Sommerfeld & Bethe 1933

'Damokles-Schwert' spezifische Wärme: Dulong-Petit Gesetz gut erfüllt,
aber wo bleiben dann die Elektronen? (Lösung: Boltzmann \leftrightarrow Fermi)

Annahmen zur Beschreibung betrifft nur Leitungselektronen

- adiabatische oder Born-Oppenheimer Näherung
 - Trennung von Kernbewegung & elektronischen Freiheitsgraden
- Ein-Elektronen-Näherung
 - Festkörper (Ionen & Elektronen) beschrieben durch Potential, dessen Eigenzustände aufgefüllt werden (# Supraleitung, Magnetismus)
- Freies Elektronengas (Potential $V = 0$)

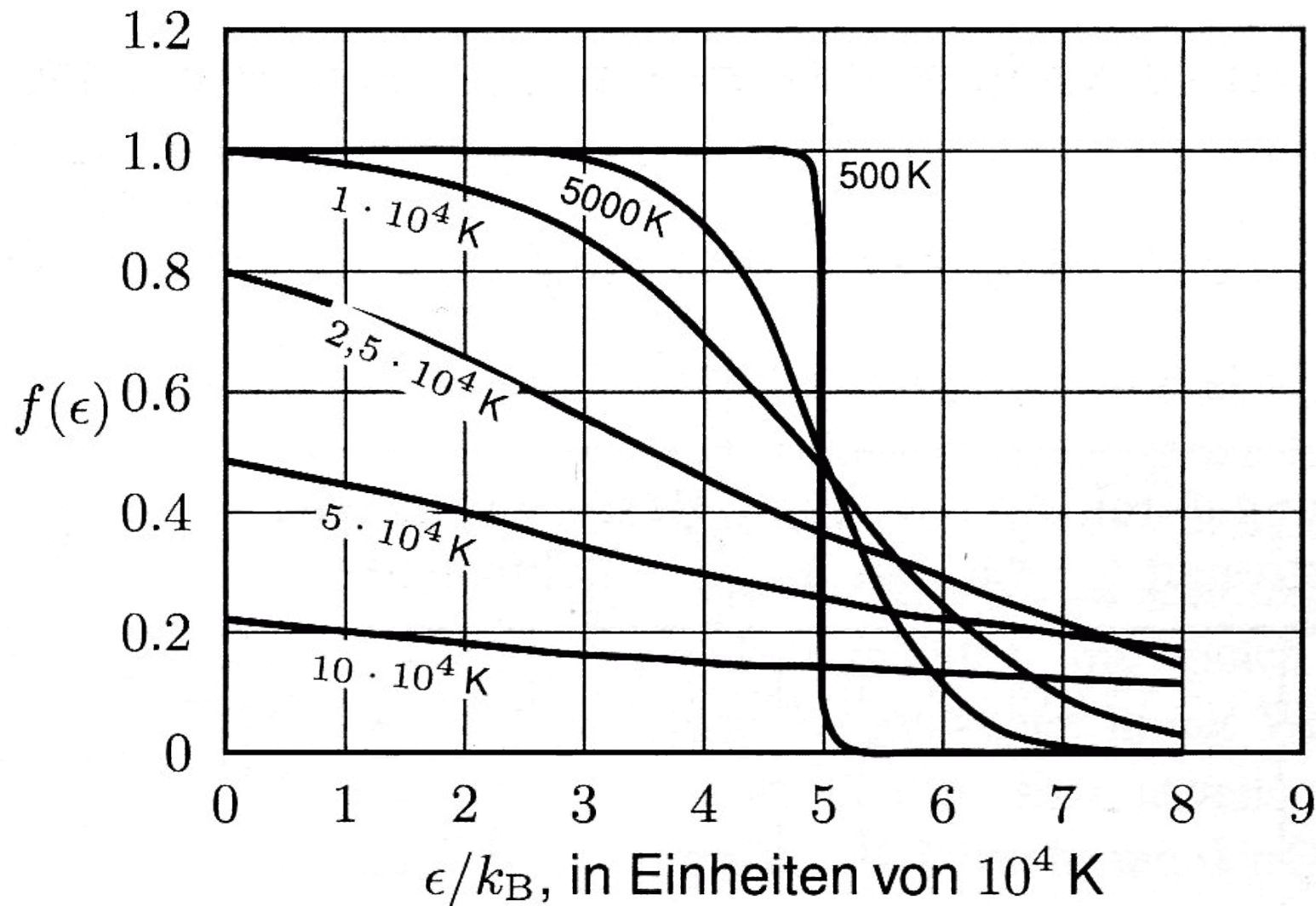
Zusammengefasst: Metall = 3D-Potentialtopf



Warum sind Elektronen nahezu frei?

- Elektron-Ion-WW am stärksten bei kleinen r
dort verhindert Pauliprinzip Elektronenanhäufung
- Mobilität der Leitungselektronen führt zu Abschirmung

Fermiverteilung



Fermi-Dirac-Verteilung für $T_F = E_F / k_B = 50\ 000$ K.

$f(\epsilon) = 0,5$ bei $\epsilon = \mu$ (chemisches Potential).

Beispiel **Cu**

n $8,5 \times 10^{22} \text{ cm}^{-3}$

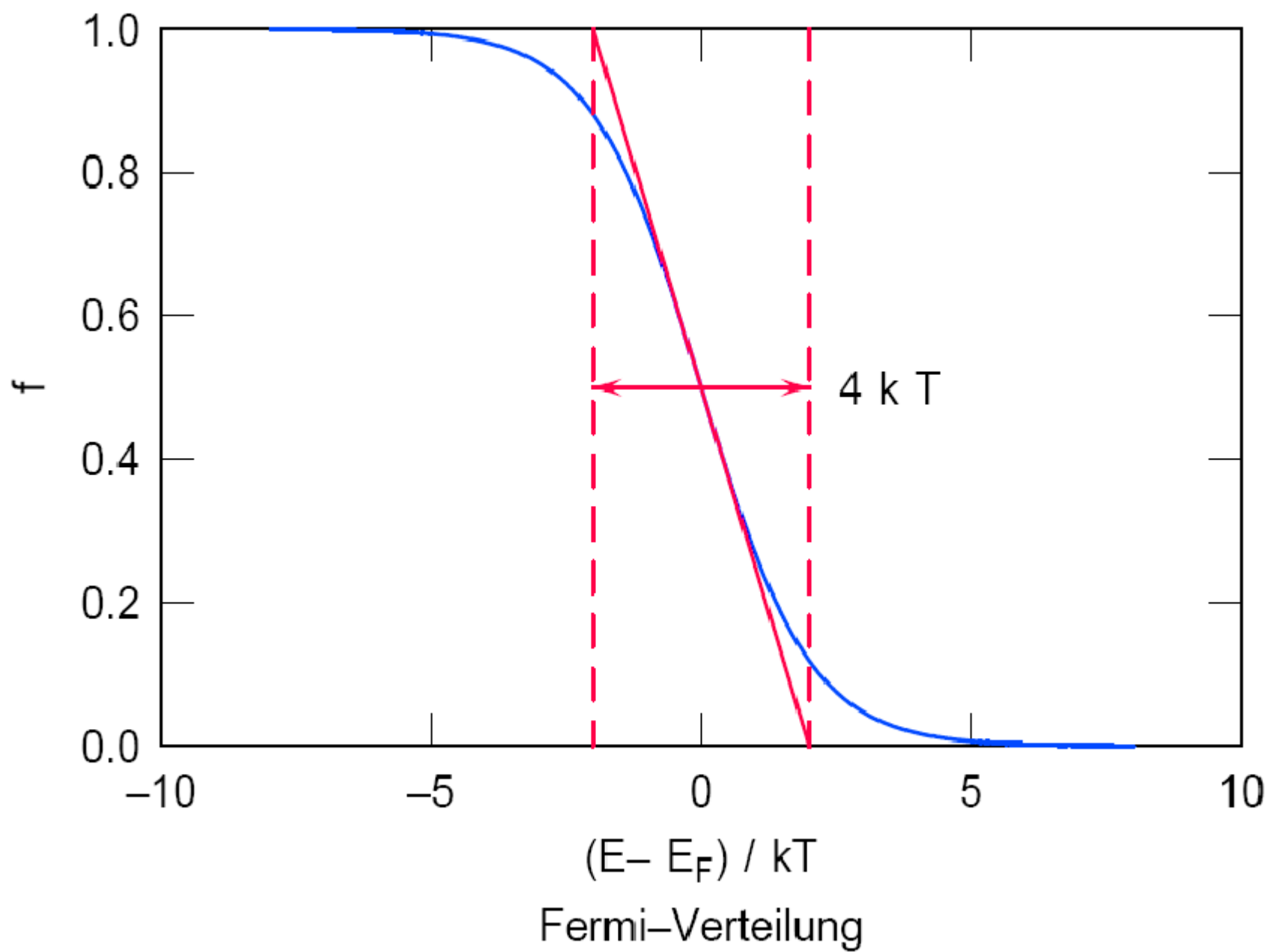
k_F (10¹⁰ m⁻¹) 1,35 ($\approx 2 \pi/a$)

v_F (10⁵ m/s) 15,6 ($\approx 0.05 c$)

E_F (eV) 7,0

T_F (K) 82000 ($\approx 13 T_{\text{Sonne}}$)

T_F ist nicht die Temperatur des Elektronengases



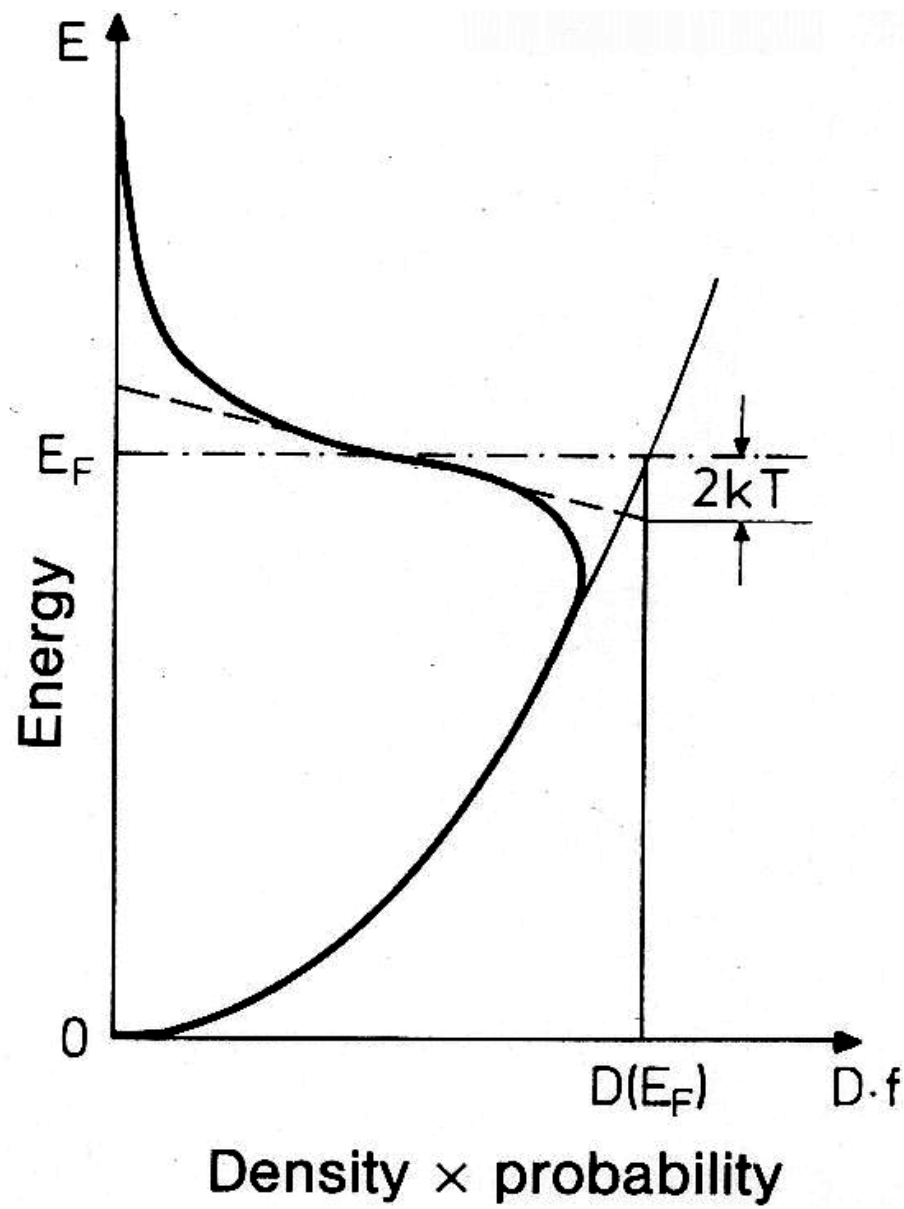
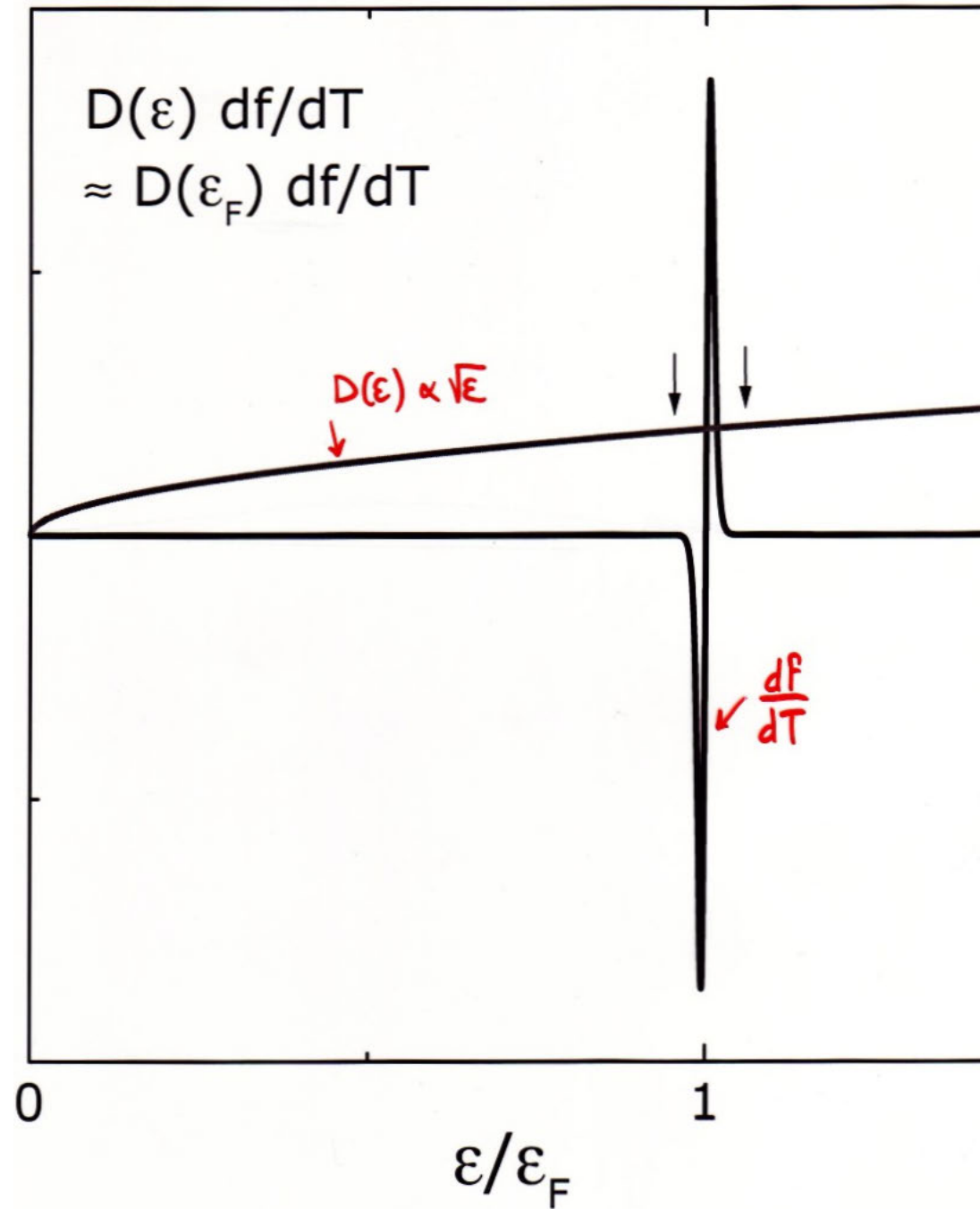
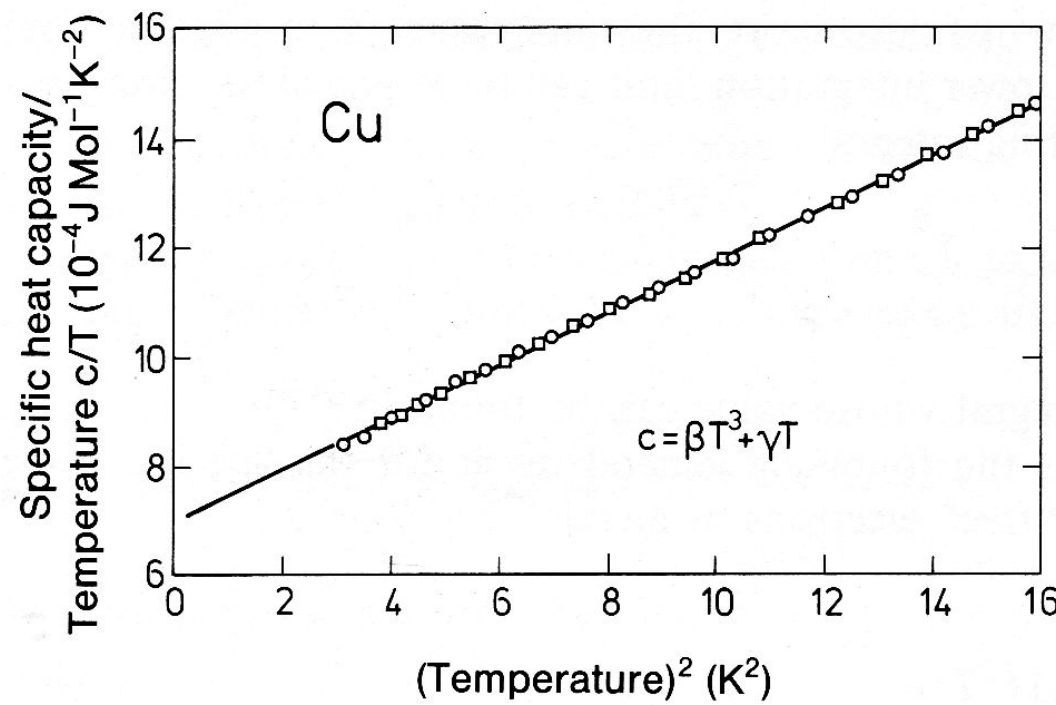
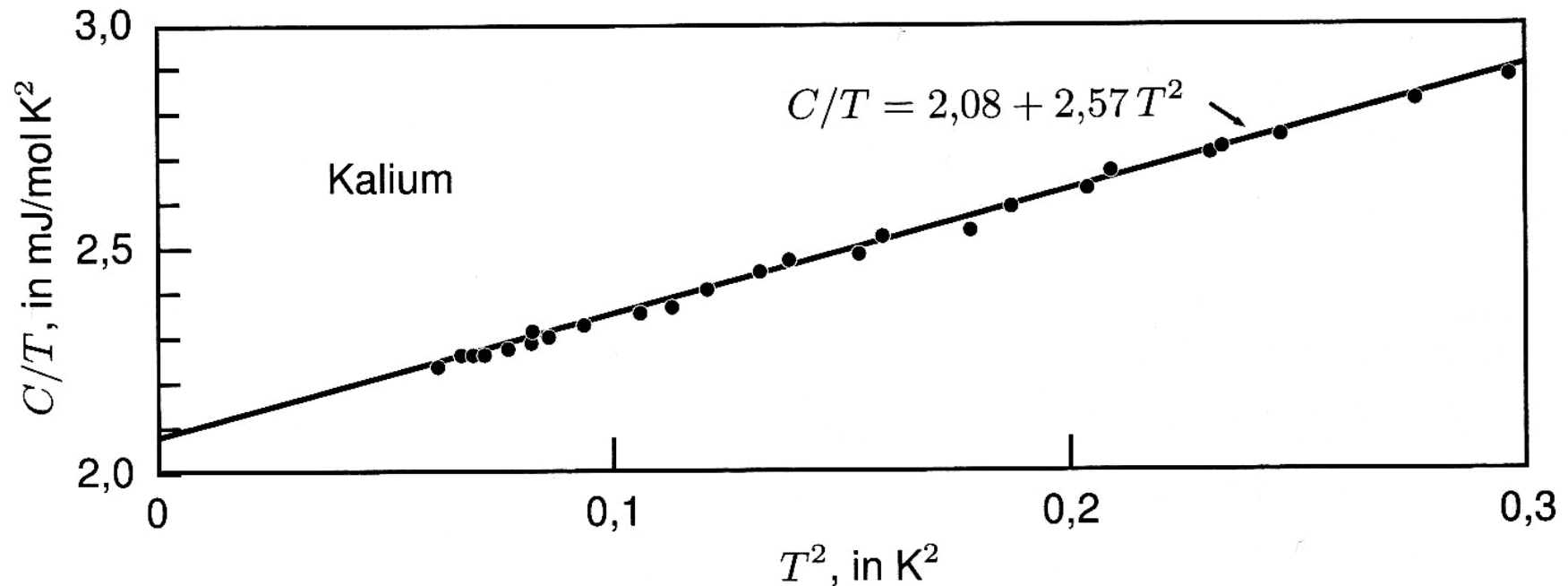


Fig. 6.7. Explanation of the specific heat capacity of quasi-free metal electrons. The effect of raising the temperature from 0K to T is to allow electrons from $\leq 2kT$ below the Fermi energy to be promoted to $\leq 2kT$ above E_F . The tangent (---) intersects the energy axis at $E_F + 2kT$



Wärmekapazität von Metallen



Electronic specific heat: Experiment vs free-electron-model

$$C_v = \gamma T + \beta T^3$$

Metal	γ_{exp} (10^{-3} J/Mol K 2)	$\gamma_{\text{exp}}/\gamma_{\text{theo}}$
K	2.0	1.1
Ag	0.66	1.02
Cu	0.69	1.37
Na	1.7	1.5
Al	1.35	1.6
Li	1.7	2.3
Fe	4.98	10.0
Co	4.98	10.3
Ni	7.02	15.3

Nur elektronischer Anteil:

$$C_v \sim \text{DOS}(E_F) \quad \text{DOS}(E_F) = 3/2 N/E_F \quad E_F = \hbar^2 r^2 / 2 (3 \pi^2 N/V) 1/m$$

- $C_v \sim m$
- definiere m^* 'specific heat effective mass'
- $\gamma_{\text{exp}}/\gamma_{\text{theo}} = m^*/m$

Metall $\gamma_{\text{exp}}/\gamma_{\text{theo}} = m^*/m$

K	1.1	
Ag	1.02	
Cu	1.37	
Na	1.5	
Al	1.6	
Li	2.3	
Fe	10.0	<i>d-Metall</i>
Co	10.3	<i>d-Metall</i>
Ni	15.3	<i>d-Metall</i>
Heavy Fermions	~ 1000	<i>f-Elektronen</i>

Elevated DOS at E_F : Free-electron-model fails

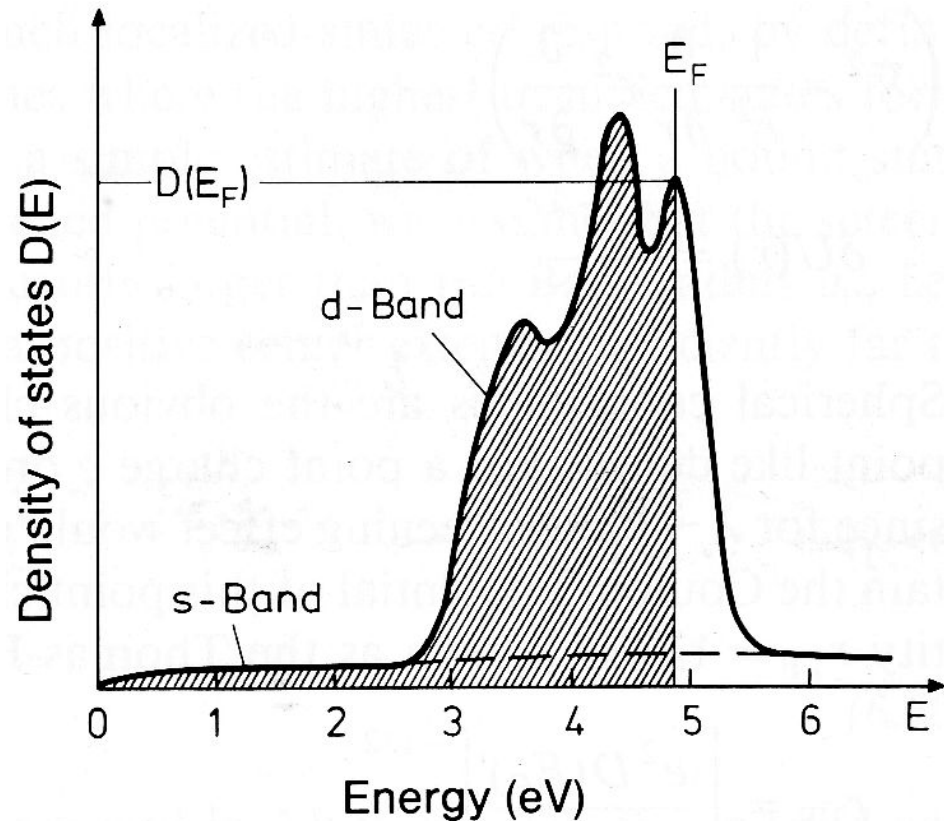
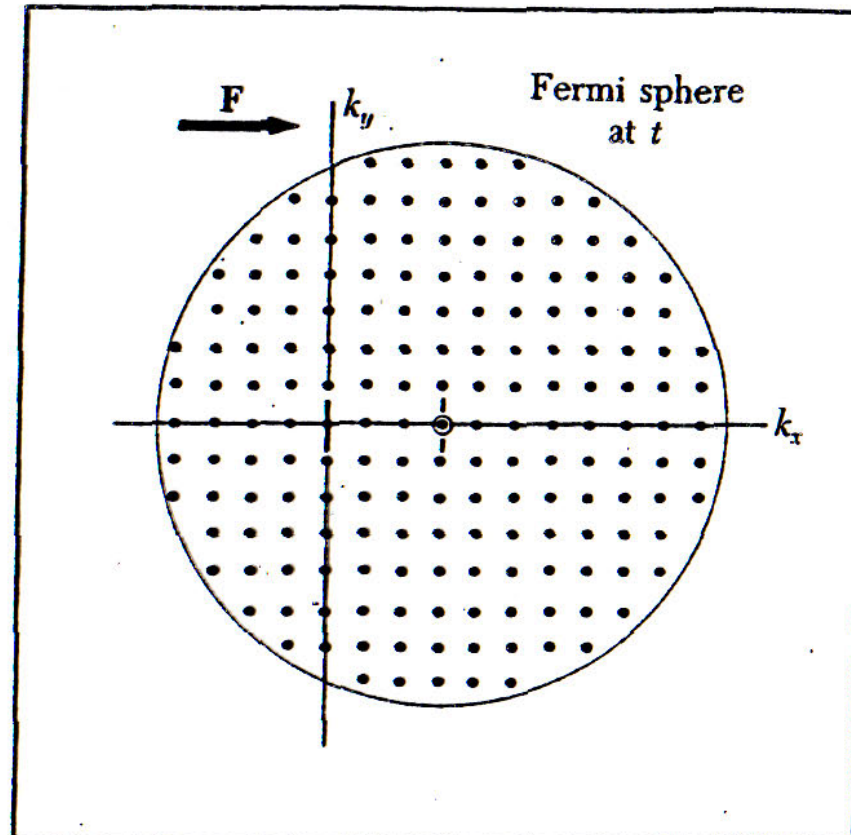
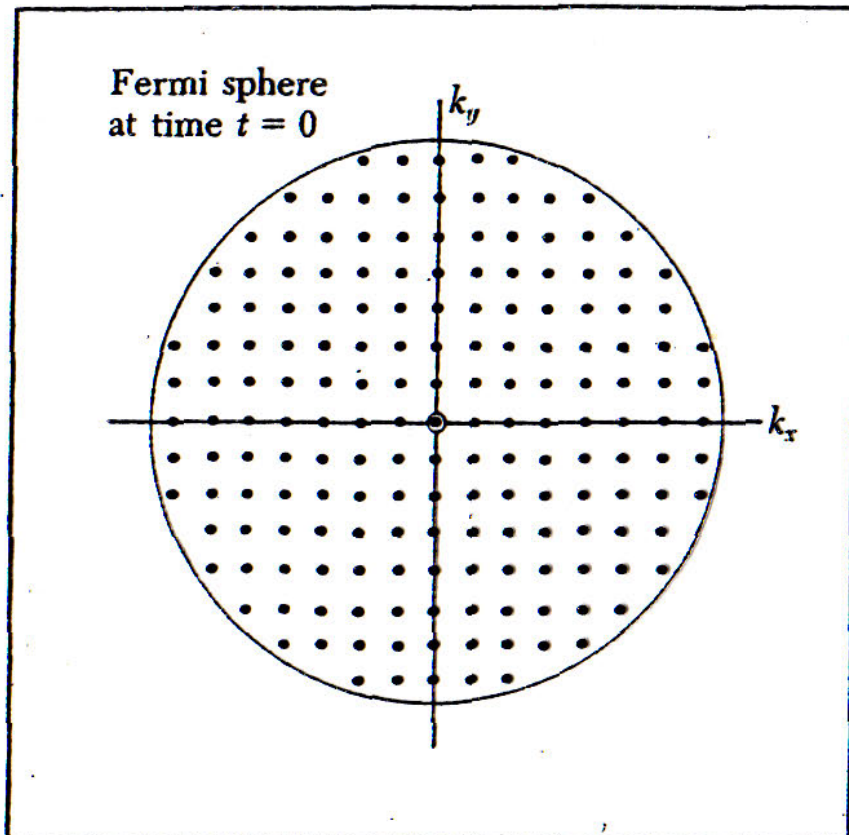


Fig. 6.9. Qualitative behavior of the density of states $D(E)$ for the conduction band of a transition metal. The strong contribution of the d -electrons in the vicinity of the Fermi level lies on top of that of the s -band (*partially dashed*)

Displacement of Fermi sphere

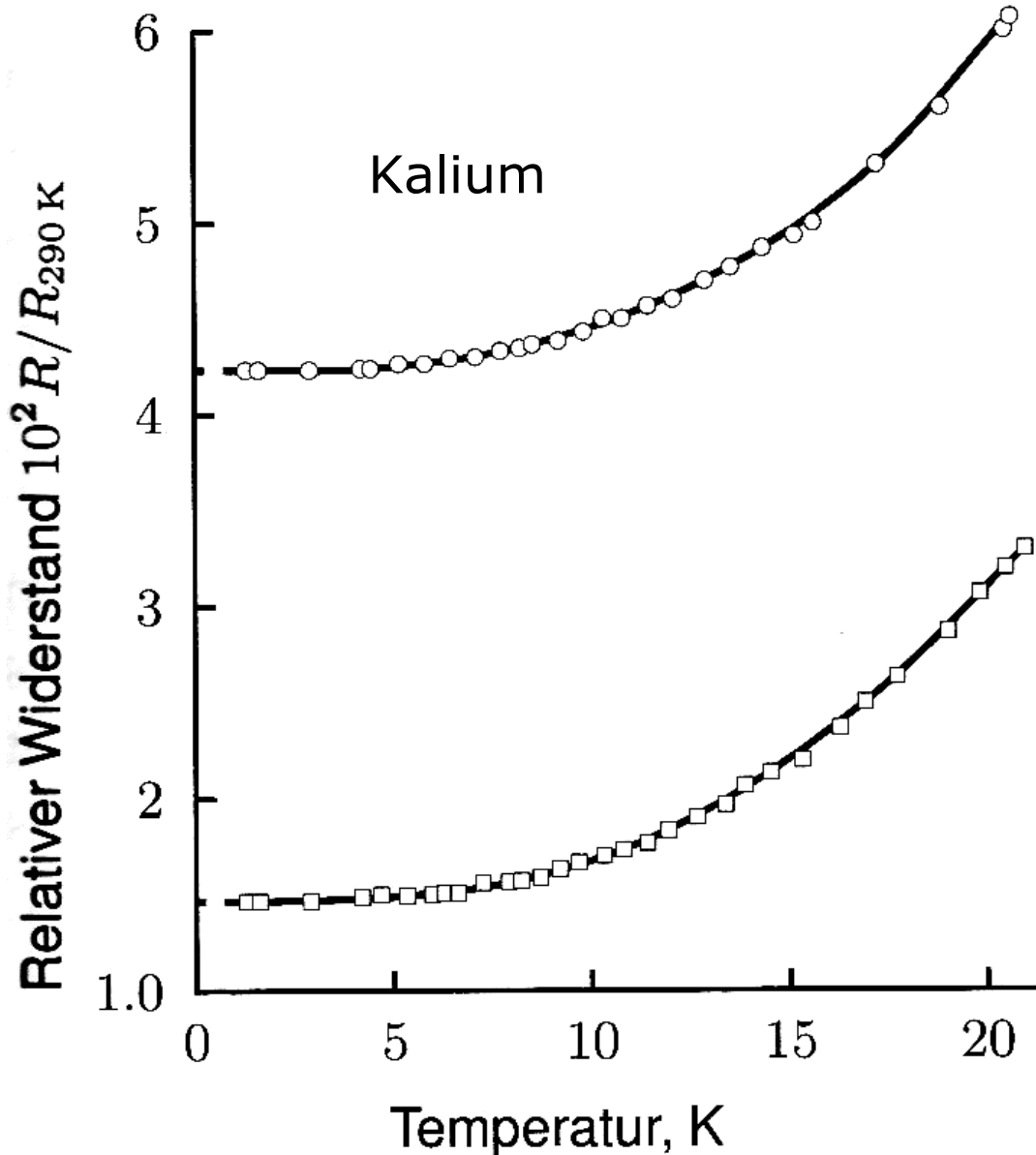


Temperaturabhängigkeit des Widerstands

4b

'Reibung' im Sommerfeldmodell?

Defekte & Phononen



Bei tiefen T:

$$\rho = \frac{1}{\sigma} = A + B T^5$$

Defekte

Phononen

Widerstand zweier Kalium Proben.
(D.K.C. MacDonald und K. Mendelsohn)
Restwiderstände bei $T \rightarrow 0\text{K}$ zeigen
unterschiedliche Defektkonzentrationen an.

Thermische Leitfähigkeit κ des freien Elektronengases

Erinnerung an Phononen: $\kappa = \frac{1}{3} c_v v \lambda$

verwende $c_{el} = \frac{1}{2} \pi^2 n k_B \frac{T}{T_F}$

und $E_F = \frac{1}{2} m v_F^2$

gibt: $\kappa_{el} = \frac{\pi^2}{3} \frac{n k_B^2 T}{m v_F^2} v_F \lambda = \frac{\pi^2}{3m} k_B^2 T \tau \quad \tau = \frac{\lambda}{v_F}$

Werte einsetzen, Resultat: $\kappa_{el} \gg \kappa_{ph}$

Wiedemann-Franz-Gesetz

$$\frac{\kappa_{el}}{\sigma} = \frac{\pi^2 n k_B^2 T \tau / 3m}{ne^2 \tau / m} = \frac{\pi^2}{3} \left(\frac{k_B}{e} \right)^2 T = L T$$

$$L \cdot 10^8 \text{ W}\Omega/\text{K}^2$$

Lorenzzahl $L = \frac{\kappa}{\sigma T} = 2,45 \cdot 10^{-8} \frac{W\Omega}{K^2}$

	0°C	100°C
Ag	2,31	2,37
Au	2,35	2,40
Cd	2,42	2,43
Cu	2,23	2,33
Mo	2,61	2,79
Pb	2,47	2,56
Pt	2,51	2,60
Sn	2,52	2,49
W	3,04	3,20
Zn	2,31	2,33

Zusammenfassung: Transportgrößen κ , σ

Drude: Klassisches Gas, Maxwell-Boltzmann-Verteilung

$$f_{MB}(v) = n \left(\frac{m}{2\pi k_B T} \right)^{3/2} \exp \left(\frac{-mv^2}{2k_B T} \right)$$

Sommerfeld: Fermigas, Fermiverteilung

$$f_F(v) = 2 \left(\frac{m}{h} \right)^3 \left| \exp \left(\frac{\frac{1}{2}mv^2 - \mu}{k_B T} \right) + 1 \right|^{-1}$$

AC, DC Leitfähigkeit: f irrelevant!

$$\kappa = \frac{1}{3} v^2 \tau c_v \quad c_v \text{ verändert um } \sim k_B T / E_F$$

v^2 nicht mehr $k_B T / m$ sondern $2 E_F / m$, gibt Faktor $E_F / k_B T$
folglich: κ unverändert.

Also: c_v -Problem gelöst, κ & σ immer noch OK

Sommerfeld: Offene Fragen

- $R_H = - 1/ne$
aber: T, B-abhängig, Vorzeichenwechsel
- Magnetwiderstand nicht Null
- σ_{DC} : T-abhängig
- linearer c_v Term: Potenz OK,
aber Zahlenwerte falsch für Edel- & Ü.metalle
- Was bestimmt Zahl der Leitungselektronen?
- Warum gibt es Isolatoren?
B isoliert, Al leitet - gleiche Gruppe des PSE

Grundannahmen des Sommerfeldmodells

(1) Freie Elektronen

Ionen bewirken lediglich Ladungsneutralität
keine WW mit Elektronen

(2) Unabhängige Elektronen

keine e-e WW

(3) Relaxationszeitnäherung

Stoßresultat unabhängig von Impulsen vor Stoß

Hauptproblem (für's Erste): (1)